

应用光学和光学设计

第二分册

A. E. CONRADY 著

中国科学院
光学精密机械仪器研究所 譯

1957.7

目 录

第 I 章 物理光学	
第 II 章 光程差	15
第 III 章 光学公差	36
瑞利极限	38
理想光学系统的焦深	40
几何焦深	43
一级球差的公差	46
三级球差的公差	55
第 IV 章	64
($d' - D'$) 方程式的傍轴形式	75
折射系数的掉入法	81
($d' - D'$) 方法的校对公式	84
第 V 章 消色差物镜的设计	91
A、纯三焦计算法	96
解的最后修正	103
最优群之选定	106
特殊情况的简化	106
物距改变的影响	107
变换玻璃的影响	108
B、代数近似求解法	109

C、混合求解法	121
限差在透鏡設計中的运用	132
第X章 配合原理在显微鏡物鏡的設計中之应用	137
A、配合原理的概述	140
B、立方曲线的描绘	141
C、Lister型物鏡的設計	141
D、Amici型物鏡的設計	157
E、浸液物鏡的設計	178
蓋玻璃的影响	184
显微鏡物鏡的最后調整	185
筒长的变更	185
不同筒长的調整	187
調整环	187
倍率色差	188

第一章 物理光学

每一光学仪器都有各种残餘的像差，因为不可能将所有的像差完全消除，对于光学設計者特别重要的是，有一个判定像差对完像的影响的可靠的标准，根据光路計算所得的清晰圆盘的大小，与位置就作为最好成像的大小与位置，这样一个看法，有时会得出非常不合理的结论，因为只視简单的設想光按幾何的路程传播，而不考慮光能是按具有一定波长的振动传播，与事实並不完全符合。

欲估計剩余像差的效应，基础应建立在光的波动理論上，很幸运的是，这样討論透鏡或透鏡系统的剩余像差在焦点附近的影响，也能很简单的得到所要的结果。

本书不能给出光的波动理論，一个完善的描述，学者如果不十分熟悉的話，可以參看一些教課書，Arthur Schuster 著的“*Theory of optics*”(Edward, Arnold, London) 我们的推导是建基於为数不多的光的基本性质上的。

(i) 由发光点发出的光线，沿着各方向按直线传播，其速度在通过媒质已给定时是一常数，这样一个性质，最初是由Rowe加以證明的，他发现当地球与木星的距离增加或減小时，木星的卫星的椭圆轨道间的时间也增加或減少着随后 Fizeau, Foucault 同其他的人，在地球上一相当长的距离内或者在一般的房间内测定光速。

(ii) 在真空中所有颜色的光均以同样的速度 300000 km/s 传播，在密的媒质中这速度减少，其减少的程度是与折射率成反比的，在折射率为 N 中的几何光程 ℓ 相当于真空中几何光程 $N \cdot \ell$ ，我们将应用这个基本定律将所有在媒质中的光程均化成相当光程，(而在真空中所相当的光程) 只要乘距离 n 以折射率 n 就可以了，这个定律也是由許多实验加以证明了的。

(iii) 按本质来说光是波动的，并且按波动的方式传播着，波动的属性已由照相法加以证明，但最简单而令人信服的证明乃是系列的干涉现象。Fresnel 镜的实验乃是第一个，而且也是最重要的一个，任一种颜色的光每秒振动的次数乃是一个绝对常数，极红的光是每秒 400 Billion 极紫的光是每秒 800 Billion 次，每一 Billion 是 10^{12} 次)

除每秒所走的距离以振动次数，就得到波长。（当然这时的波长乃是真空中波长）极红光的波长为 0.00076 mm 或 7.6×10^{-4} m，极紫光的波长为 0.00039 mm，波长最方便的单位是“Teuthmeter”或“Angstroem”，即 10^{-10} 或 10^{-7} mm，采用这些单位后，可见光的范围大约是 3900 到 7600，在光学计算中最方便的是用 0.001 mm，国际名称是 1 “micron”于是可见光的范围便是 7.6 至 3.9。

(iv) 按加干涉原理，亦即波动的叠加原理由同一光源发出的两束光线再度相遇的时候，如果位相相同，便产生极大强度，若相位相反便产生极小强度，在光学仪器中我们常寻求那产生极大强度与极小强度的物点的像，按干涉原则这是不难解决的，若所有由物点发出的光线通过口径之各部份，只要它们的相当光程是相等的，亦即所有由物点发出的光线到达像面时同位相，便产生最大强度，对于处理光学问题是有意义的，定律是，由物点至像点的各种可能的光程应大致相等（可能相差几分之一波长）

值得提一下，在满足上述要求时，有一些反对意见，这些意见是物与像的距离一是很大的对于望远镜这距离到达几码，几里，或者若干光年，怎样才能使得这些距离相等的程度到相差不过千分之一英吋呢。

这可以用球面波的事实来解决，由一点发出的球面波，在球面上各点的光程是绝对相等的。

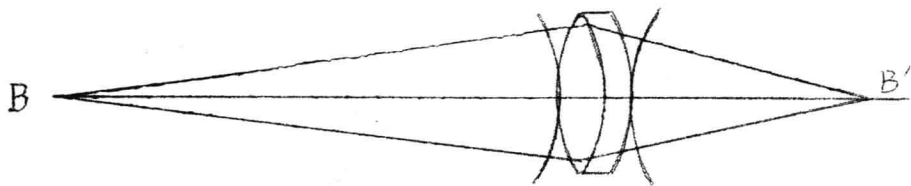


图 1

对于像点间也有这样球面波，其中心为 B' 球面与透镜的最后一面相接触，因此 B ， B' 点间的各种可能的光程差，即二参数球面间的光程差，因此要求透镜设计者所考虑的光程，即二参数球面间之光程，这光程可以是几分之一时，因此要求精度到达一个“*Tenthousand*”。

(V) 因为在光学仪器中剩余像差乃是不可避免时，从光学設設者眼光来看，最重要的问题是：光程变动在什么样一个程度以内，将不至显影响像点的亮度，要回答这个问题，需要进行在有像差时，焦点附近亮度分佈的计算。Howard 瑞利首先討論了这问题，并得出结论，光程变动在四分之一波长以内成像仍未受显著的影响： $1/4$ 波极限就是我們所採用的极限。

进行的步骤是首先計算各光线的几何光程，再来乘以折射率便得相当光程，然后再进行比较。

作为第一个例子，我们取细光束通过一折射面之折射，这些光线，在未折射前相交于理想焦点下，通过 A P 面折射后。（自 N 到 N' ）这产生一并不很完善的焦点 F' （即相交于 F' 附近），由几何光线的追跡办法，应该根据折射定律追跡每一条光线

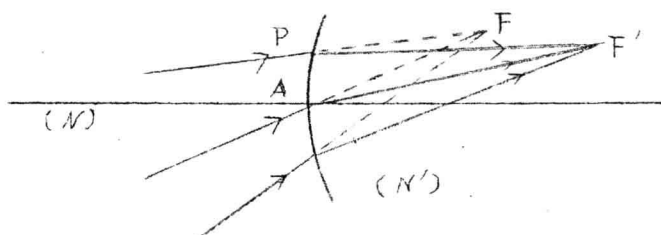


图 2

— 4 —

，然后求得聚焦折射光线最多之点，这就最好的像点。

根据物理的方法，问题是这样处理的，若设 W' 这个媒质存在那末由 P 至 F' 的光程是 $N \cdot PF$ 由于存在了 N' 的媒质，焦点已由 F 移至 F' ，於是相当光程为 $N' \cdot PF'$ ，光程的变化为 $N' \cdot PF' - N \cdot PF$ 。如果这差数是正的光程便加强了，反之缩短了，因为原则 4 与 5 我们所感兴趣的，不是光程的绝对值，而是光程差，故討論 $N' \cdot PF' - N \cdot PF$ 是很方便的，对于 A 点也有 $N' \cdot AF' - N \cdot AF$ 。

当这差数与 P 点的差数相等时，很明显的， A 与 P 点的振动将会同时到达 F' 点，如果这二差不相等，那末他们的差数就是 F' 点成像不完善的一个度量，为此之故，我们定义 OPD 如下。 $OPD' = (N' \cdot AF' - N \cdot AF) - (N' \cdot PF' - N \cdot PF)$ 这样定义是使得 OPD' 当球差校正不足时 OPD' 为正的（因为此时边缘光線的 $N' \cdot PF' - N \cdot PF$ 小於近轴光線的 $N' \cdot AF' - N \cdot AF$ ）上式也可以写为

$$OPD' = N'(AF' - PF') - N(AF - PF)$$

这形式在数学上处理起来很方便。

我们采用立体解析几何的方法，使得 X 轴与 Y 轴处在被我们观察的平面内， Z 轴与 Y 、 X 轴成垂直，正向指向图平面的后方，按透视画的规定，正的 Z 指向右上方，如图 3

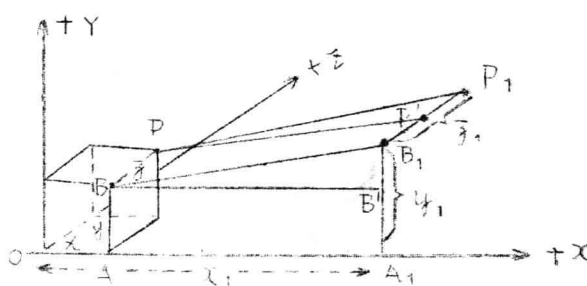


图 3

我们考虑 P 与 P_1 间的光程，作 $B'B_1$ 平行於 AA'

$$BB^1 = AA_1 = x_1 - x \quad \text{而} \quad B^1B_1 = y_1 - y$$

$$BB_1^2 = (x_1 - x)^2 + (y_1 - y)^2$$

作 PP' 平行于 BB_1 在平面 PBB_1P_1 中， $PP^1 = BB_1$

$$\text{因此 } (PP')^2 = (x_1 - x)^2 + (y_1 - y)^2$$

又因 $P'P = z_1 - z$ 故

$$PP_1^2 = (x_1 - x)^2 + (y_1 - y)^2 + (z_1 - z)^2$$

同样 OP 的距离为 $OP^2 = x^2 + y^2 + z^2$ ，

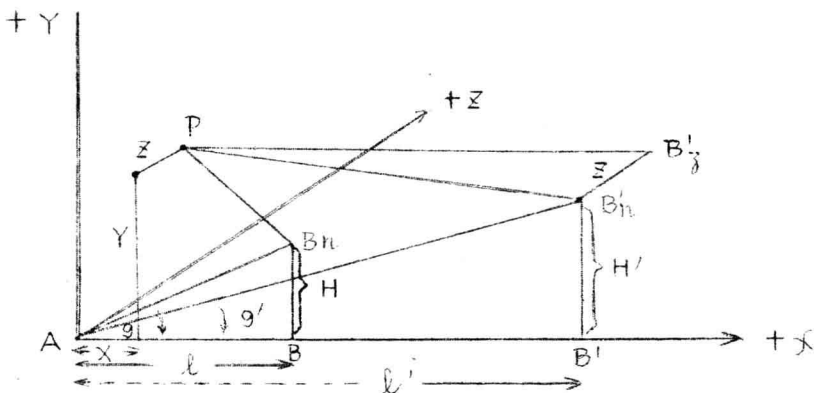


图 4

参看图 4：A 点为原点，A 为即折射面的法线，而 A 即入射光束的主光线与折射面的交点，折射面在 A 点切平面即 YZ 平面， B_h 即虚物点它的 X 坐标为 ℓ ；在 Y 方向的坐标为 H ， X -Y 平面即 AB_h 光线的入射平面，像点 B'_z 之坐标一般的来说是 ℓ' ， H' ， Z' 。（没有必要预先将它限制在 X-Y 平面上）

$$PB_h^2 = (\ell - x)^2 + (H - y)^2 + z^2$$

$$AB_h^2 = \ell^2 + H^2$$

$$(PB_z')^2 = (\ell' - x)^2 + (H' - y)^2 + (z - z')^2$$

$$(AB_z')^2 = \ell'^2 + H'^2 + z'^2$$

由三角形 ABB_h 我们有

$$\ell = AB_h \cdot \cos I \quad H = AB_h \cdot \sin I$$

由三角形 $AB'B'_h$ 得

$$\ell' = AB'_h \cos I' \quad H' = AB'_h \cdot \sin I'.$$

在 OPD 公式中的所需要的四个距离可表示如下，即

$$PB_h^2 = (AB_h \cdot \cos I - x)^2 + (AB_h \cdot \sin I - y)^2 + z^2.$$

$$AB_h^2 = AB'_h^2$$

$$(PB'_z)^2 = (AB'_h \cos I' - x)^2 + (AB'_h \sin I' - y)^2 + (z - z')^2$$

$$(AB'_z)^2 = (AB'_h)^2 + (z')^2$$

这四组公式，前两个与后两个之差别仅在于 $\beta \neq 0$ ，和有一撇，因此只要将最后两式写出来就可以了。

$$(PB'_z)^2 = (AB'_h)^2 - 2x \cdot AB'_h \cos I' - 2y \cdot AB'_h \sin I' \\ + x^2 + y^2 + z^2 - 2z'z + z'^2.$$

$$x^2 + y^2 + z^2 \text{ 即 } OP^2 \quad \text{上式又可以写为}$$

$$PB'_z = AB'_h \sqrt{1 - 2 \times \frac{\cos I'}{AB'_h} - 2y \frac{\sin I'}{AB'_h} + \frac{PA^2}{AB'_h^2} - 2 \frac{z'z}{(AB'_h)^2} + \frac{z'^2}{(AB'_h)^2}}$$

为便于计算起见，我们将上式展成级数，并忽略高小量，便得

$$PB'_z = AB'_h \left\{ 1 - \frac{y \sin I'}{AB'_h} - \frac{z'z}{(AB'_h)^2} - \frac{x \cos I'}{AB'_h} + \frac{1}{2} \left(\frac{PA}{AB'_h} \right)^2 \right. \\ \left. - \frac{1}{2} \frac{y^2 \sin^2 I'}{AB'_h^2} + \frac{1}{2} \left(\frac{z'}{AB'_h} \right)^2 + \dots \right\}$$

同样得

$$AB'_z = AB'_h \left\{ 1 + \frac{1}{2} \left(\frac{z'}{AB'_h} \right)^2 + \dots \right\}$$

注意到现在的 B_h, B'_h 即以前的 F, F' ，因此要求出 OPD' 是容易的，首先求出 OPD' 的第一项 $N'(AB'_z - PB'_z)$ 根据上面 AB'_z 与 PB'_z 的展开式，我们立刻可以写出这差数来。

相似的可以写出第二个差数， $N(AB_h - PB_h)$

$$N'(AB'_j - PB'_j) = Y \cdot N' \sin I' + \frac{N' \beta' Z}{AB'_h} + X N' \cos I'$$

$$- \frac{1}{2} \frac{PA^2}{AB'_h} N' + \frac{1}{2} Y^2 N' \frac{\sin^2 I^2}{AB'^2_h} + \dots$$

$$N(AB_h - PB_h) = Y \cdot N' \sin I + X N' \cos I - \frac{1}{2} \frac{PA^2}{AB_h} N$$

$$+ \frac{1}{2} Y^2 N \frac{\sin^2 I}{AB_h} + \dots$$

相减便得 OPD'

$$OP(1) OPD' = Y(N' \sin I' - N \sin I) + N' \frac{\beta' Z}{AB'_h} +$$

$$X(N' \cos I' - N \cos I) - \frac{1}{2} PA^2 \left(\frac{N'}{AB'_h} - \frac{N}{AB_h} \right) +$$

$$\frac{1}{2} Y^2 \left(\frac{N' \sin I'}{AB'_h} - \frac{N \sin I}{AB_h} \right)$$

十三级或更高级的项。

这方程式给出了二级与二级小项的表达式先改一级小项。

$$OPD' = Y(N' \sin I' - N \sin I)$$

很明显的括号内之数不会超过4，当口径的半径为 $1/32$ 波长时，那末在最大的Y处（ $1/32$ 波长）与 $Y=0$ 处的光程差 OPD 为 $1/8$ 波长， $Y=0$ 与 $Y=-1/32$ 波长处的 OPD 是 $-1/8$ ，因此通过 $Y=\pm 1/32$ 的两条边缘光线的光程差为 $1/4$ 波长按照瑞利极限成像亮度不会受到影响。实际上通过这样小孔的光，几乎是完全散射了，因此不能成一个像，同时这也证实了我们所设想过的关于几何光线的性质因为当口径很小时所有的像差都没有了，根据追踪光线的结果，我们得到一理想的数学点而实际的情况乃是均匀的照明着右半个圆球的，这可以简单的加以证明，用一张黑纸上的小孔挡住我们的眼睛，通过这小孔去看很強

的光斑，则我们所看到的，并不是一个很小的亮点而是一个大的有颜色的亮的面积，边上有许多亮环，每一个设计者都做过这样的衍射现象的实验，这些都能警惕他们过分的相信几何光学的结果会无毛病的。

当孔径的大小增至几个波长时，我们继续讨论方程式 $OP(1)$ ，我们仍然有（近似的）

$$OPD' = Y(N'sin I' - Nsin I)$$

因为 Y 现在可以等于几个波长，由此立即得一结论，唯一的是减少 OPD 便是接近于零的办法，亦即得到最大强度的办法，是适当的选择 I' ，使得括号内的数值为零。

$$N'sin I' = Nsin I$$

这就是折射定律的标准形式，但欲完成折射定律的证明，必须考虑 $OP(1)$ 前面两项即

$$OPD' = Y(N'sin I' - Nsin I) + N' \frac{Z\beta'}{AB^2}$$

式中 Y 与 Z 是独立的，因此 OPD' 为零的唯一可能是他们的系数为零，即

$$N'sin I' - Nsin I = \beta' = 0$$

亦即光学成像是很完善的，应满足上面两个条件， $\beta' = 0$ 意味着 B'_A 在入射平面内。

$N'sin I' = Nsin I$ 就是折射定律，这时像点 B'_A 的强度为极大，很显然的 B'_A 点并不只是一个，在方向 I' 上所有的点都满足同样的条件，因此极大强度是公佈 I' 方向的直线上，应注意的是我这里所讨论的是很细的光束，经过多次折射后，仍然保持这个细光束性质，用有许多小孔的透明的屏遮掉这透镜的口径，用以确定光路的方法就是根据这一点，在焦距两旁平面照像并且确定它到透镜的距离，只要当各细光束在照相平面上的像不是彼此重叠的，用照相办法才能得到可靠的结果。

几何光线的另一重要性質，可以光线的波长通过折射面时显现出来，从B点发出的光线，以振动的方式传播着，如果媒质沒有变化，则波前形成同心的球面，如果媒质有所改变，例如由稀的媒质 N 到密的媒质 N' 在 N' 中的波长按 N/N' 缩短了但轴上附近的波前先进入 N' 媒质，而轴外部分的波前进入 N' 媒质，这样就使得波面的曲率发生改变，而会聚於 N' 媒质中的一点。

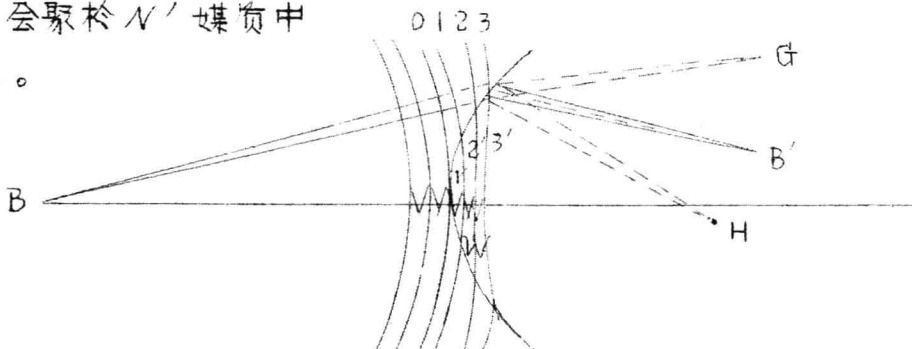


图 5

我们尋求由图5中B点发出的细光束，通过折射面后究竟会聚於什么方向，才会使得由B点至折面右边某点的各条光线的光程相等。

我们看到由B点到折面的光程是相等的，因此只需要确定一点，使得这点与折面各部份相等就是了，如果选择H点的话，很显然它与波面的下部较近而与波面的上部份较远，若选G点情况恰恰相反，由波面的法线的交点B'则是真正的，我们所求的点，因此得出結論。

“几何光学的光线就是波面的法线”

这个重要的定理建立了光线与光波间的联系，使得我们能从很少的三角計算与光程差确定的联合运用，得出更为深刻的結論来。

$O P$ (1) 前开始两项的意义为当光束主光线，按严格的折射

律折射时，前两项为零，而光束的方程简化为

$$\begin{aligned}OPD' = & \chi(N'\cos I' - N\cos I) - \frac{1}{2}PA^2\left(\frac{N'}{AB_h} - \frac{N}{AB_h}\right) \\& + \frac{1}{2}r_p^2\left(\frac{N'\sin^2 I'}{AB_h^2} - \frac{N\sin^2 I}{AB_h^2}\right)\end{aligned}$$

十三级或更高级的项

当光束非常细时，上式中所有的都是可以忽略的，但是当光束口径增大时必须涉及这些项，也可以从这里导出极为重要而有用的“Fermat's 光程最小原理”，因为 χ 之 $PA^2/2r_p$ ，上式又可以写为。

$$\begin{aligned}OPD' = & \frac{PA^2}{2r_p}(N'\cos I' - N\cos I) - \frac{1}{2}PA^2\left(\frac{N'}{AB_h} - \frac{N}{AB_h}\right) \\& + \frac{1}{2}r_p^2\left(\frac{N'\sin^2 I'}{AB_h^2} - \frac{N\sin^2 I}{AB_h^2}\right)\end{aligned}$$

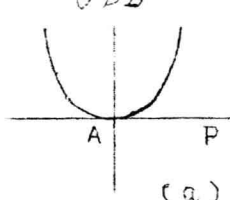
十三级或更高级的项

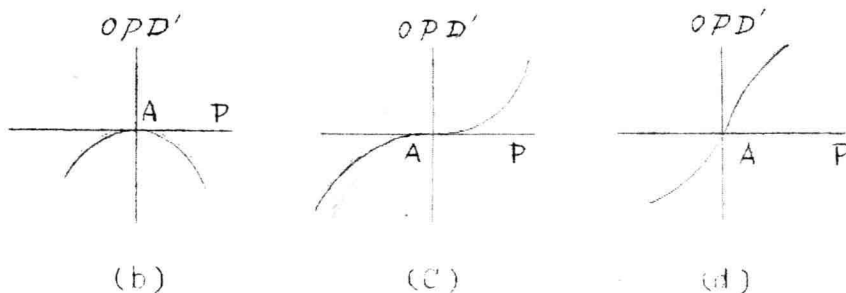
很明显的，前三项都是二级的小项，这样就得出 Fermat 原理如下：

与三角追迹（按严格的折射率）光线有一偏离 PA 的各种可能的光簇（起点，始点为固定的）它与前者的光程差 OPD 是一个二级小量。

我们现在再来讨论 OPD 公式中各项变化的情况，图 6 (a) 与 (b)：表示 OPD 为一个二级小量的变化情形，它在 A 点有一最大值或最小值，这 A 点就是按三角公式追迹的光线 c) 图是二级小项为零，只剩下三级小项的情况下，d) 图所表示的是离三角追迹光线较远光程差，变化的情况。这时曲线通过原点时，变化是很慢的，A 点所指也不是按三角公式追迹的光线。

图 6 (a)





上面我們只是就一个面証实了 *Fermat* 原理，实际上这原理对于任意个面也是一样成立的。

由于使得按折射定律进行的光綫与邻近光綫的位相尽可能接近，以产生一最大强度，*Fermat* 原理的證明又可以用来证明 *Helmholtz* 定理，即

“波串内 (Wavetrain) 光能之传播是沿着几何光綫的方向，”

波串的意思是指既不太接近於錐的外壳，也不接近於錐的顶点的光，更严格的定义，可以参考理论光学的教科書，例如 Drude 的光学，該書尚讨论了物理光学中的其他的困难问题，例如边界条件问题。

对于我们来说，*Helmholtz's* 定理的意义是：我们必须按严格的按折射与反射定律来追踪光綫，不论是用几何光学或物理光学的方法来討論焦点的结果，对不熟悉第一部份内容的读者，我们将用一完全不同的但又是正确的办法来解釋光路計算的结果。

我们现在要问在什么条件下 OPD 方程的二級项可以为零，这时意味着所有通过口径的光聚焦于 B' ，成像更完善，或者说这时的结合更完善，产生最大的能量。

首先我们討論折射面是一球面的情形球面的半径为 Y ， OPD' 的表达式可以寫为：

$$OPD' = \frac{1}{2} PA^2 \left(\frac{N}{AB_h} + \frac{N' \cos I' - N \cos I}{r} - \frac{N'}{AB'_h} \right) \\ + \frac{1}{2} Y^2 \left(\frac{N' \sin^2 I'}{AB'_h} - \frac{N \sin^2 I}{AB_h} \right)$$

最简单的情况是垂直入射， $I = I' = 0$

$$OPD' = \frac{1}{2} PA^2 \left(\frac{N}{AB_h} + \frac{N' - N}{r} - \frac{N'}{AB'_h} \right)$$

若括号内为零，则 OPD' 为零，用 ℓ, ℓ' 代 AB_h, AB'_h 便有

$$\frac{N}{\ell} + \frac{N' - N}{r} - \frac{N'}{\ell'} = 0$$

这个方程，实际上就是近轴方程 (OP)，而现在却是使 OPD' 为零的条件。

现在去掉 $I = I' = 0$ 的假设而讨论球面折射一般的表达式因为 PA 与 Y 是独立的，要 OPD 为零，只有 OPD 中 PA^2 与 Y^2 的系数分别为零，亦即：

$$\frac{N}{AB_h} + \frac{N' \cos I' - N \cos I}{r} - \frac{N'}{AB'_h} = 0 \\ \frac{N' \sin^2 I'}{AB'_h} - \frac{N \sin^2 I}{AB_h} = 0$$

取 $N' \sin I' = N \sin I$ ，这一条件可以写为

$$\frac{1}{N' AB'_h} - \frac{1}{N AB_h} = 0 \quad AB'_h = \frac{N}{N'} AB_h$$

这就是很细的约束成出一完善的像时所必需满足的条件，我们可以根据此条件，求出折射面的半径 r

$$\frac{N}{AB_h} + \frac{N' \cos I' - N \cos I}{r} - \frac{N'^2}{N AB_h} = 0$$

$$r = AB_h \frac{N(N' \cos I' - N \cos I)}{N'^2 - N^2}$$

将这结果与第 I 部份的球面齐明折射相较。

$$(L' = L \frac{N}{N'} \quad r = h \frac{N}{(N'+N)})$$

在形上是很相似的，当 γ 与 γ' 很小时，这结果与球面齐明折射时的结果一样，由此我们得出结论在光轴上的齐明折射，对相应的斜光束情形也是很有益的。

已经证明在球面上斜光束的折射只有当上述条件满足时，才有一完善的焦点，由此可以理解到当 γ 与 AB_h 的比为其他的值时，光束的焦点是不完善的，我们现在考虑两种情况，第一种即光束通过 $\gamma = 0$ 附近如图 a) 所示这便是所谓瓣光束，这时 OPD' 只包括一项，即 $OPD' = \frac{1}{2}PA^2 \left(\frac{N}{AB_h} + \frac{N'\cos I' - N\cos I}{r} - \frac{N'}{AB'_h} \right)$

因为与 γ'^2 成正比的一项，可以忽略不计。

以 S, S' 代替 AB_h, AB'_h

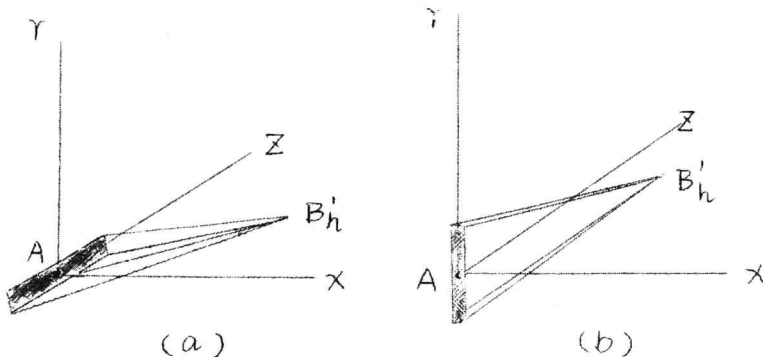
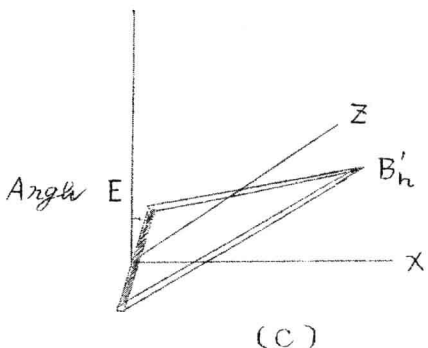


图 7



括号内为零的条件是：

$$\frac{N'}{S'} = \frac{N'\cos I' - N\cos I}{r} + \frac{N}{S}$$

这个公式是很简单的，而且在追踪瓣光束时也用得比较多，另一种特殊情形即光束通过轴附近的狭长条

，如图 b) 所示，由 $PA^2 = \gamma^2 + x^2 + z^2$ 这时 $x^2 + z^2$ 的值比较小可以忽略不计，因此

$PA^2 = y^2$ 而 OPD' 的方程可以写为

$$OPD' = \frac{1}{2} PA^2 \left(\frac{N}{ABh} - \frac{N \sin^2 I}{ABh} + \frac{N' \cos I' - N \cos I}{r} \right. \\ \left. - \frac{N'}{AB'h} + \frac{N' \sin^2 I'}{AB'h} \right)$$

以 t, t' 代 $ABh, AB'h$.

得括号为零的条件是

$$\frac{N}{t} (1 - \sin^2 I) + \frac{N' \cos I' - N \cos I}{r} - \frac{N'}{t'} (1 - \sin^2 I') = 0$$

$$\text{亦即 } \frac{N'}{t'} \cos^2 I' = \frac{N \cos^2 I}{t} + \frac{N' \cos I' - N \cos I}{r}$$

应该注意到，在两个方程式中，都出现了像常数 $(N' \cos I' - N \cos I)/r$ ，这就使得同时计算 s ，尤 成为很快而便利了。

最后我考虑一个一般的情形，即光束通过图 7 C 所示之狭长孔，由于 $Y = PA \cos E$ 代到 OPD' 式中，并以 l_E, l'_E 代 $ABh, AB'h$ 得

$$\frac{N'(1 - \sin^2 I' \cos E)}{l'_E} = \frac{N' \cos I' - N \cos I}{r} + \frac{N(1 - \sin^2 I \cos E)}{l_E}$$

当 $E = 90^\circ$ 就得单光束的公式，当 $E = 0^\circ$ 时就得经面光来的公式，当 $I - I' = 0$ 时就得近轴公式 (6p)，这一般的公式对于任何角度都是正确的，因此在追踪一偏心的通过折射面的光束，这公式是有他的用处的。

关于非球面折射的情形，我们已经指出过，主曲率半径一般是不相等的，若以 Υ_p 代替 Υ 则上面的公式仍然正确，这里 Υ_p 即在顶点的法线与入射光线所成的法平面内，曲面的曲率半径。